

○ 김 창 환 한 영 열  
전자 통신 공학과 한양 대학교

Digital Non - Coherent Detector

○ Kim Chang Hoan Han Young Yeul  
Dept. of Electronic Communication Engineering  
Han Yang University

1. 序 論

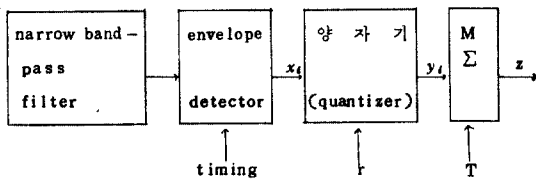
二元符號를 送信하여 채널에서 雜音이 加하여진 境遇 受信機에서 협대역 필터를 通過하여 포락선 檢波를 하던 포락선의 確率密度函數는 雜音만이 存在하는 境遇 Rayleigh 分布函數가 되며 雜音과 信號가 存在하는 境遇 Rice 分布가 된다.

本 論文에는 likelihood ratio test에서 取한 臨界值를 二個의 量子區間값으로 定하여 Neyman - Pearson 基準을 使用하여 受信機의 性能을 檢討하여 보았다.

2. likelihood ratio test에 依한 디지털化 信號檢出

2-1 likelihood ratio test

디지털 通信 시스템을 設計하기 위해서는 <그림 1>에서 보는 바와 같이 受信된 信號는 協대역 필터를 通過하여 포락선 檢波된 후 相互 獨立인 표본화된 信號  $x_i$ 로 되며 이  $x_i$ 는 二 레벨 量子化機를 通過하여 計算된다.



<그림 1> 二레벨 量子 시스템의 解釋的 모델

結果的으로 雜音은 아날로그 시스템에서 制限되지만 量子化 效果(quantization effect)는 디지털 시스템에서 制限이 加해진다. <그림 1>에서 r은 統計的으로 獨立된 量子化된 區間,  $y_i$ 는 量子臨界值(quantization thr

-eshold)의 範圍에 따라 定해지는 값, 그리고 合算機 出力에서

$$z = \sum_{i=1}^M y_i$$

으로 表示된다.

여기서 envelop detector는 受信 信號의 envelope을 通過하는 機能을 한다. 여기서 반송파를 除去하면 모든 位相情報에는 關係없이 포락선만 檢出된다.

이를 根據로 하여 非同期 檢出受信機에 受信된 n개의 獨立인 펄스들이 있다고 假定하자. 이때 이 펄스들이 가지는 確率密度函數는 각각의 sample에 對한 確率密度函數의 곱과 同一하다. 즉

$$p_n(n, x) = \prod_{i=1}^n p_n(x) \dots \dots \dots (2.1)$$

으로 주어진다. 여기서  $p_n(x)$ 는

$$p_n(x) = x e^{-0.5x^2} \dots \dots \dots (2.2)$$

이다. 또한 雜音과 함께 들어오는 n개의 信號의 envelope에 對한 確率密度函數는

$$p_n(n, x) = \prod_{i=1}^n p_n(x) \dots \dots \dots (2.3)$$

으로 表示된다. 여기서  $p_n(x)$ 는

$$p_n(x) = x e^{-(x^2 + A^2)/2} I_0(Ax) \dots \dots \dots (2.4)$$

이 된다.

likelihood ratio는 雜音만의 確率密度函數에 對한, 雜音이 包含된 信號의 確率密度函數의 比(ratio)이다. 이 값이 크면 클수록 受信機 人力性分은 雜音만이 存在하는 境遇보다 雜音과 信號가 함께 存在하는 境遇의 確率이 더 높다. 여기서  $\lambda$ 는 threshold value이며 本 論文에서는 1로 假定한다.

likelihood ratio test에서 量子化區間을 定하기 爲해 양변에 로그를 取하여 整理하면 다음과 같다.

$$\sum_{i=1}^n \ln I_0(Ax) \geq \ln \lambda + n \frac{A^2}{2} \dots \dots \dots (2.5)$$

式 (2.5)에서 Bessel function  $I_0(x)$ 를 수열로 제 7항까지만 취한 다음 SNR (signal-to-noise ratio) 값에 따라 求해진 最適區間 값은 다음과 같다.

SN 比	最適 區間 값
A= 11dB	2.3260
13dB	2.9310
15dB	3.2347

< 表 1 > SN 比에 따른 最適 區間 값

2-2 雜音이 包含된 信號의 檢出

非同期受信機에서, Rayleigh 雜音과 함께 存在하고 있는, 受信된 信號의 envelope을 2-level로 量子化시키므로써 信號를 檢出하는 過程에 있어 다음 두 假說

$H_0$  : 雜音만 存在하는 境遇

$H_1$  : 雜音과 信號가 함께 存在하는 境遇

을 設定하며 이때  $P(H_0)$ 와  $P(H_1)$ 을 各各에 對한 事前確率 (a priori probability) 이라고 한다.

雜音만이 受信된 境遇 envelope의 確率分布函數는 Rayleigh 分布를 하고, 信號와 雜音이 함께 存在하는 境遇의 確率分布函數는 Rice 分布를 하고 있다는 것을 이미 알고 있다. 各 區間의 面積을 나타내는 불연속 확률변수  $y$ 에 對한 確率密度函數는 前者의 境遇

$$p(y|N) = \delta(y) [1 - e^{-\frac{y^2}{2}}] + \delta(y-1) e^{-\frac{y^2}{2}} \dots \dots \dots (2.6)$$

가 되며 後者의 境遇 Q-function에 依해서 다음과 같이 表示된다.

$$p(y|SN) = \delta(y) \int_0^y x e^{-0.5x^2} e^{-0.5A^2} I_0(xA) dx + \delta(y-1) \int_y^\infty x e^{-0.5x^2} e^{-0.5A^2} I_0(xA) dx \dots \dots \dots (2.7)$$

여기서 Q-function은

$$Q(\alpha, \beta) \equiv \int_\beta^\infty x e^{-\frac{x^2}{2}} I_0(\alpha x) dx \dots \dots \dots (2.8)$$

가 된다.

이렇게 구하여진 確率密度函數가 合算機 (summer)를 通過할 境遇 sample數 M에 따라  $z$ 에 對한 確率密度函數가 다음과 같이 提示된다.

$$p(z|N) = \underbrace{p(y|N) * p(y|N) * \dots * p(y|N)}_{M \text{ 번}} \dots \dots \dots (2.9)$$

$$p(z|SN) = \underbrace{p(y|SN) * p(y|SN) * \dots * p(y|SN)}_{M \text{ 번}} \dots \dots \dots (2.10)$$

그런데 여기서 式 (2.9)와 式 (2.10)의 convolution은 特性函數에서 誘導되어 適用되고 있는데 이의 計算式은 다음과 같다.

$$C_0 = P_M^0 \dots \dots \dots (2.11)$$

$$C_m = \frac{1}{m p_0} \sum_{k=1}^m [K(M+1)-m] P_k C_{m-k} \quad (M: \text{Sample 數})$$

(for  $m \geq 1$ )  $\dots \dots \dots (2.12)$

여기서  $P_k$ 는  $y$ 에 對한 確率密度函數에서 各各의 임펄스 函數가 가지는 面積이며,  $C_m$ 은 sample數에 따른 各各의 convolution value이다.

本 論文에서 最大 detection probability  $P_D$ 의 結定은 一般의 인 디지털受信機에 適用되는 Neyman-Person Criterion에 根據를 둔다. 그러면 detection probability를 求하기 전에 randomized test를 우선 알아보자  $z = \sum_{i=1}^M y_i \geq w$ 일 境遇 假說  $H_1$ 을 擇하고,  $z = w-1$ 일 때 確率을  $P_1$  그리고  $H_0$ 을 擇하는 確率을  $1-P_1$  이라고 하면 randomized test에 의한  $P_{FA}$ 와  $P_D$ 는 다음 式으로 주어진다.

이와 같은 事實을 根據로 하여 false alarm probability는

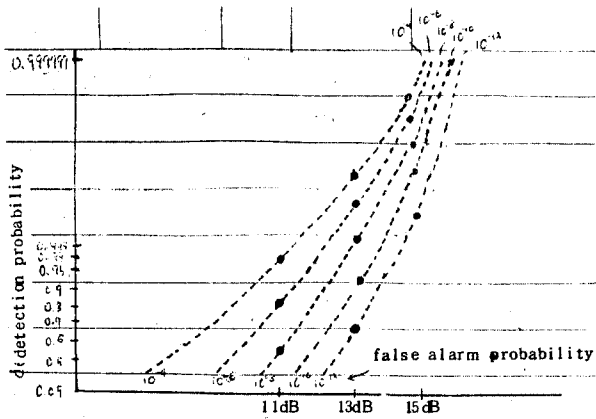
$$P_{FA} = P_1 p(z=w-1|N) + \sum_{i=w}^{\infty} p(z|N) \dots \dots \dots (2.13)$$

이고 detection probability  $P_D$ 는

$$P_D = P_1 p(z=w-1|SN) + \sum_{i=w}^{\infty} p(z|SN) \dots \dots \dots (2.14)$$

가 된다. 그러면 여기서 randomized test를 한 結果值는 거의 0에 가까우므로 本 論文에서는 무시한다.

여기서의 detection probability에서  $M=2,4$ 인 境遇 detection probability가 0가 되는 false alarm probability가 많으므로  $M=8$ 에 對해 遂行하여 보았다. 그래서  $P_{FA}=10^{-4}, 10^{-6}, 10^{-8}, 10^{-10}, 10^{-12}$ 인 境遇 detection probability를 표시하면 그림2와 같다.



〈그림 2〉 디지털화 信號의 detection probability

### 3. 結 論

1) 信號의 envelope 를 likelihood ratio test 를 利用하여 2-level 로 量子化시키는데 있어서 SN比가 커짐에 따라 最適區間값이 漸次 넓어진다는 事實을 알수 있다. 이런 結果값에 의해 SN比에 따른 最適量子化를 遂行할 수 있으며 信號를 檢出하는데 適用할 수 있다.

2) likelihood-ratio test 를 利用해 SNR=11dB, 13dB, 15dB에서 2-level 로 量子化시켜 各 區間の 面積을 나타내는 y에 대한 確率密度函數를 求한 다음 d-detection probability를 알기위하여 z에 對한 確率密度函數를 求하여 보았다. 그래서 同一한 false alarm probability에 對해 detection probability가 SNR 값에 따라 漸次 커진다는 것을 알 수 있었다. 이런 事實에 의해 SNR이 큰 값을 가지는 非同期受信機일수록 信號를 檢出하기가 더욱 容易해 진다는 것을 알 수 있다. 最適檢出機의 likelihood ratio test 를 使用한 境遇 표본화수가 1個 以上일 때는 數學的으로 解釋이 곤란하므로 本 論文에서 記述한 方法으로 檢出機의 性能을 求할 수 있다.

(1) V.G. Hansen, "Optimization & Performance of multilevel quantization in automatic detectors,"

IEEE, Trans. Aerop. Electron. Vol. AES-10, pp.274-280, Mar. 1974.

(2) M.I. Skolnik, Introduction to Radar systems, McGraw Hill, 1962.

(3) Robert V. Hogg & Allen T. Craig, Introduction to mathematical Statistics, McGraw-Hill, 1978.